

doi: 10.13241/j.cnki.pmb.2019.03.003

TLR7 在 1 型糖尿病大鼠肾缺血再灌注损伤中的作用研究 *

黄亚医 黄婷 赵博 汪华新 肖业达[△]

(武汉大学人民医院麻醉科 湖北 武汉 430060)

摘要 目的:探讨 Toll 样受体 7(TLR7)介导的 MyD88/NF-κB 信号通路在 1 型糖尿病大鼠肾缺血再灌注损伤中的作用。**方法:**雄性 SD 大鼠随机分为 3 组(n=6), 糖尿病假手术组(DS), 糖尿病缺血再灌注组(DIR), 糖尿病缺血再灌注 + 氯喹预处理组(DIR+CQ)。采用腹腔注射链脲佐菌素 65 mg/kg 建立糖尿病模型, TLR7 抑制剂氯喹预处理于糖尿病模型成功后第 3 周 0.5% 氯喹 40 mg/kg 进行腹腔注射, 连续给药 7 天。于第四周采用双侧肾蒂夹闭 25 min, 再灌注 48 h 建立肾缺血再灌注损伤模型。取大鼠肾脏 HE 染色观察大鼠病理学结果, 血标本测定血尿素氮(BUN)和血肌酐(Scr)水平, ELISA 法检测白细胞介素 6(IL-6)和肿瘤坏死因子 -α(TNF-α), TUNEL 法检测细胞凋亡, Western blot 检测 TLR7, MyD88 和 NF-κB 蛋白表达。**结果:**与 DS 组相比, DIR 组肾小管肿胀, 间质水肿, 刷状缘丢失, 空泡变性坏死, Paller 评分升高($P<0.01$)。与 DIR 组相比, 氯喹预处理可以改善肾损伤($P=0.017$); 与 DS 组相比, DIR 组 BUN, Scr, IL-6, TNF-α, 细胞凋亡指数(Apoptosis %), TLR7, MyD88, NF-κB 增高($P<0.05$); 与 DIR 组相比, DIR+CQ 组 BUN, Scr, IL-6, TNF-α, Apoptosis %, TLR7, MyD88, NF-κB 降低($P<0.05$)。**结论:**TLR7 介导的 MyD88/NF-κB 信号通路参与糖尿病肾缺血再灌注损伤, 氯喹通过抑制 TLR7 表达, 阻断 MyD88/NF-κB 信号通路, 降低炎症反应, 从而减轻 1 型糖尿病大鼠肾缺血再灌注损伤。

关键词: TLR7; 糖尿病; 肾缺血再灌注损伤**中图分类号:** R-33; R587.2 **文献标识码:** A **文章编号:** 1673-6273(2019)03-411-05

The Effect of TLR7 on Renal Ischemia Reperfusion Injury in Type 1 Diabetic Rats*

HUANG Ya-yi, HUANG Ting, ZHAO Bo, WANG Hua-xin, XIAO Ye-da[△]

(Department of Anesthesiology, Renmin Hospital of Wuhan University, Wuhan, Hubei, 430060, China)

ABSTRACT Objective: To investigate the role of MyD88/NF-κB signaling pathway induced by TLR7 on renal ischemia reperfusion injury in Type 1 diabetic rats. **Methods:** The male SD rats, were randomly divided into three groups (n=6): diabetic sham group (group DS); diabetic ischemia reperfusion group (group DIR); diabetic ischemia reperfusion plus chloroquine pretreatment group (group DIR+CQ). The diabetic model was established by intraperitoneal injection of streptozotocin 65 mg/kg. Chloroquine, a TLR7 inhibitor, was pretreated by intraperitoneal injection of 0.5% chloroquine 40 mg/kg daily for 7 consecutive days at the third week after the diabetes model was successful. The renal ischemia reperfusion injury model was induced by occlusion of bilateral renal pedicle for 25 min and reperfusion for 48 h after the fourth week. The rats were sacrificed at 48h of reperfusion and the kidneys were removed for HE staining, the level of blood urea nitrogen (BUN) and blood serum creatinine (Scr), detection of interleukin - 6 (IL-6) and tumor necrosis factor α (TNF- α) by ELISA, cell apoptosis was detected by TUNEL and the expression of TLR7, MyD88 and NF-κB protein by western blotting. **Results:** Compared with group DS, the renal tubules were swelling, interstitial edema, the brush border was losing and the cavitation was necrosis in group DIR, the Paller score was increased ($P<0.05$). After chloroquine preconditioning, the degree of renal injury was obviously relieved ($P=0.017$), compared with group DIR. Compared with group DS, BUN, Scr, IL-6, TNF-α, Apoptosis %, TLR7, MyD88 and NF-κB were increased in group DIR ($P<0.05$). Compared with group DIR, BUN, Scr, IL-6, TNF-α, Apoptosis %, TLR7, MyD88 and NF-κB were decreased in group DIR+CQ ($P<0.05$). **Conclusion:** MyD88/NF-κB pathway induced by TLR7 is participated in Type 1 diabetic renal ischemia reperfusion injury. Chloroquine inhibits renal ischemia-reperfusion injury by inhibiting TLR7 expression, blocking MyD88/NF-κB signaling pathway and reducing inflammatory reaction, thereby alleviating renal ischemia-reperfusion injury in type 1 diabetic rats.

Key words: TLR7; Diabetes; Renal ischemia reperfusion injury**Chinese Library Classification(CLC):** R-33; R587.2 **Document code:** A**Article ID:** 1673-6273(2019)03-411-05

* 基金项目: 湖北省卫生健康委科研基金项目(WJ2019M193); 湖北省自然科学基金项目(2017CFB267)

作者简介: 黄亚医(1981-), 博士, 主治医师, 主要研究方向: 脏器保护, E-mail: huangyayi@126.com

△ 通讯作者: 肖业达, 博士, 主治医师, 主要研究方向: 脏器保护, E-mail: xiaoyeda008@126.com

(收稿日期: 2018-05-05 接受日期: 2018-06-03)

前言

糖尿病患者常伴有肾功能不全，且随着糖尿病病程的进展，肾功能不全的发生率呈逐年上升趋势，发生肾脏不良事件的几率亦急剧升高^[1,2]。糖尿病作为急性肾损伤的高危因素，具有高敏感性和预后差的特点^[3]。TLR7 介导的 MyD88/NF-κB 信号转导通路是炎性反应的重要信号通路之一^[4]。迄今为止，对于 TLR7 的研究主要集中在肝、肺、冠状动脉缺血再灌注及其相关疾病^[5-7]。然而，TLR7 对糖尿病肾脏 I/R 的作用研究甚少。亦有研究表明 Toll 样受体(TLRs)是先天性免疫系统的重要组成部分^[8,9]，在糖尿病的发病机制中起到触发作用^[10,11]。本研究拟评价 TLR7 介导的 MyD88/NF-κB 信号通路在 1 型糖尿病大鼠肾缺血再灌注损伤中的作用。

1 材料与方法

1.1 材料与试剂

清洁级健康成年雄性 SD 大鼠，体重 200 g~220 g，购自北京华阜康生物科技股份有限公司。肿瘤坏死因子 α(TNF-α)和白细胞介素 6(IL-6)试剂盒购自伊莱瑞特生物科技有限公司。TUNEL 试剂盒购自美国 Roche 公司。兔抗 GAPDH 和兔抗 TLR7 购自美国 Novus Biologicals 公司。兔抗 MyD88 购自英国 Abcam 公司。兔抗 NF-κB 美国 CST 公司。氯喹购自美国 Sigma 公司。

1.2 方法

1.2.1 动物选择及分组 SD 大鼠腹腔注射 1% 链脲佐菌素 - 柠檬酸盐缓冲液(Sigma 公司, 美国)，剂量为 65 mg/kg, 3 天后于尾静脉检测血糖，血糖 ≥ 16.7 mmol/L 为大鼠糖尿病模型制备成功，饲养周期为 4 周^[12]。取糖尿病模型制备成功的大鼠 18 只，采用随机数字表法分为 3 组 (n=6)：糖尿病假手术组 (DS)，糖尿病缺血再灌注组 (DIR)，糖尿病缺血再灌注 + 氯喹预处理组 (DIR+CQ)。氯喹预处理于糖尿病模型成功后第 3 周 0.5 % 氯喹 40 mg/kg 进行腹腔注射，连续给药 7 天。

1.2.2 大鼠肾缺血再灌注损伤模型的制备 在糖尿病大鼠模型造模成功后第四周，大鼠经腹腔注射 2 % 戊巴比妥钠 60 mg/kg，腹部正中切开显露肾脏，双侧肾脏肾蒂部位缓慢钝性分离，夹闭双侧肾蒂 25 min 后开放，肾脏由鲜红转为紫红表明阻断成功，肾脏由紫红恢复到鲜红提示再灌注成功。

1.2.3 指标测定 再灌注 48 h 后处死大鼠取肾组织，(1)HE 染色观察大鼠病理学结果：制备石蜡切片，置于 4 % 多聚甲醛溶液中固定 24 h，HE 染色，光镜下观察病理学结果。采用 Paller 法评估肾小管损伤，分数越高表示肾小管损伤程度越严重^[13]。(2)左心室取血标本检测血 BUN 和 Scr 水平。(3)取新鲜肾组织匀浆，取上清液，设立标准对照和空白对照，采用 ELISA 法检测 IL-6 和 TNF-α。(4)采用 TUNEL 试剂盒(Roche, 美国)检测细胞 Apoptosis %。肾脏石蜡切片常规处理，逐级脱蜡至水。制备 TUNEL 反应混合液后，处理组滴加 50 μL TUNEL 反应混合液于样本上，经过孵育 - 洗涤 - 复染 - 脱水透明，晾干的切片可以在显微镜下观察或者采集图像。显微镜下组织切片上凋亡的细胞为棕褐色。以凋亡细胞数 / 视野细胞总数为凋亡指数进行数据统计。(5)采用 Western blot 法测定 TLR7、MyD88 和 NF-κB

蛋白指标。肾组织用裂解液提取蛋白，测定蛋白浓度。采用聚丙烯酰胺凝胶电泳分离目的蛋白。冰浴转膜后，脱脂奶粉室温封闭 1-2 h。加入单克隆抗体 TLR7 (1:500)、MyD88 (1:600)、NF-κB (1:1000) 4℃ 孵育过夜。次日用 HRP 标记的二抗(抗兔，1:5000) 孵育 1 h 后 TBST 清洗，显色曝光，以目的蛋白条带灰度值 /GAPDH 条带灰度值反映目的蛋白表达水平。

1.3 统计学处理

实验数据采用 GraphPad Prism 6.0 软件进行统计学分析。计量资料均采用均数± 标准误(± SE)来表示，多组间比较运用单因素或双因素方差分析来进行，若 $P < 0.05$ 则差异具有统计学意义。

2 结果

2.1 肾脏组织病理学检测结果

HE 染色光镜下观察：DIR 组肾小管肿胀，间质水肿，刷状缘丢失，空泡变性坏死，表现出明显的肾组织病理损伤。DIR+CQ 组的肾脏结构基本正常，与 DIR 组相比，肾组织病理评分显著下降($P=0.017$)(见图 1)。

2.2 大鼠肾组织细胞凋亡情况

TUNEL 法检测细胞凋亡，显示与 DS 组相比，DIR 组细胞凋亡增多 ($P < 0.05$)；与 DIR 组相比，DIR+CQ 组细胞凋亡减少 ($P < 0.05$)。变化趋势与肾脏 HE 染色 paller 评分一致(见图 2)。

2.3 大鼠肾脏功能及炎性因子检测

大鼠肾功能指标显示，与 DS 组相比，DIR 组 BUN 和 Scr 增高 ($P < 0.05$)；与 DIR 组相比，DIR+CQ 组 BUN 和 Scr 降低 ($P < 0.05$)。肾脏组织炎性因子检测显示，与 DS 组相比，DIR 组 IL-6 和 TNF-α 增高 ($P < 0.05$)；与 DIR 组相比，DIR+CQ 组 IL-6 和 TNF-α 降低 ($P < 0.05$)。见表 1。

2.4 大鼠肾组织 TLR7、MyD88 和 NF-κB 蛋白表达情况

Western blotting 分析大鼠肾组织 TLR7、MyD88 及 NF-κB 蛋白表达。与 DS 组相比，DIR 组 TLR7、MyD88、NF-κB 增高 ($P < 0.05$)；与 DIR 组相比，DIR+CQ 组 TLR7、MyD88、NF-κB 降低 ($P < 0.05$)。见图 3 及表 2。

3 讨论

急性肾缺血再灌注损伤是指肾脏组织缺血时和其后恢复血液灌注时器官功能未能恢复正常状态，甚至发生更为严重的组织器官损伤，如肾脏功能不全或肾脏功能衰竭。肾脏由于其组织结构和功能的特殊性，对缺血再灌注损伤尤为敏感。因此，临幊上因缺血导致的急性肾功能不全或急性肾功能衰竭十分常见，如严重脱水、烧伤、失血性休克、弥散性血管内凝血、心肺复苏、心脏体外循环、肾脏移植术、心脏移植术和大血管手术等过程中，特别是多脏器功能衰竭的危重患者几乎都伴有急性肾衰竭的发生，而此后恢复灌注使肾功能损伤继续加重^[14]。临幊上急性肾损伤(Acute kidney injury, AKI)延长住院周期，增加患者死亡率。值得关注的是急性肾损伤患者即使康复后也要面对较高的远期死亡率^[15]。在诱发 AKI 的众多病因中，缺血再灌注损伤依然是围术期 AKI 的主要病因^[16]。缺血再灌注损伤时短暂的阻断肾脏局部或总体血流供应后当血流供应恢复时，缺血肾脏将遭受持续严重损伤，其病理学特征表现为血管，肾小管

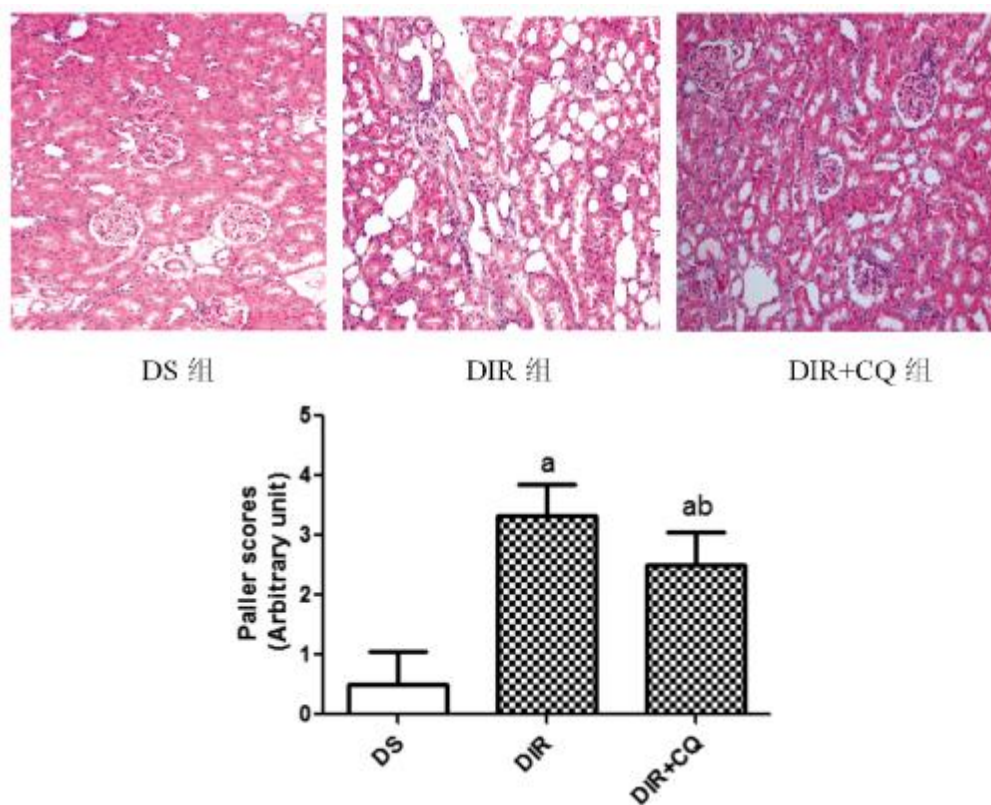


图 1 肾小管 HE 染色 (n=6, × 200)

Fig. 1 The HE staining of Renal tubular (n=6, × 200)

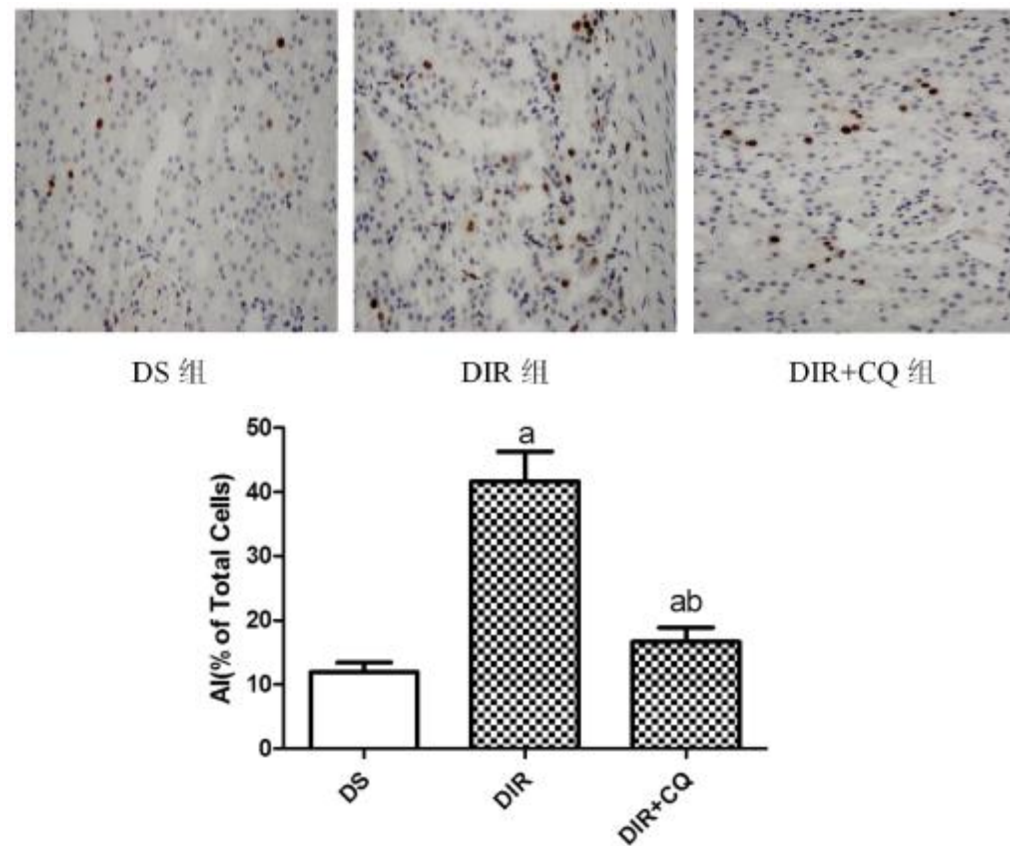
注:与 DS 组比较,^aP<0.05;与 DIR 组比较,^bP<0.05。Note: ^aP<0.05, compared with group DS; ^bP<0.05, compared with group DIR.

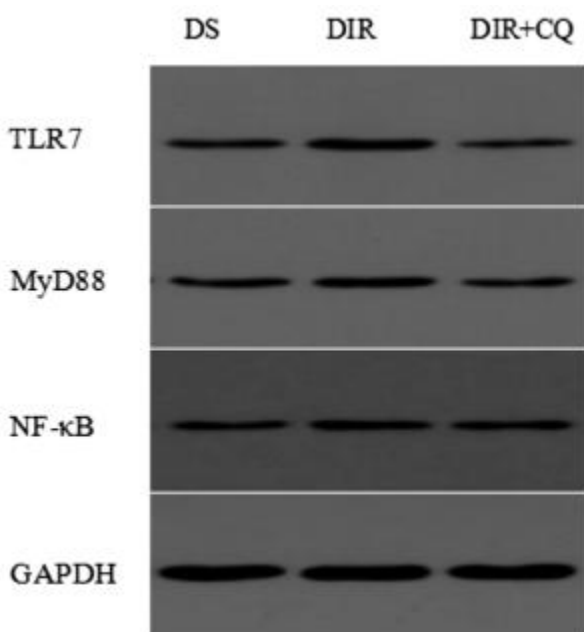
图 2 肾脏细胞凋亡的比较 (n=6, × 200)

Fig. 2 The comparison of renal cell apoptosis (n=6, × 200)

Note: ^aP<0.05, compared with group DS; ^bP<0.05, compared with group DIR.

表 1 三组 BUN, Scr, IL-6, TNF- α 的比较 (n=6, \pm s)Table 1 The comparison of BUN, Scr, IL-6, TNF- α in three groups (n=6, \pm s)

	BUN	Scr	IL-6	TNF- α
DS	7.1620.941	34.264.891	53.775.367	59.874.783
DIR	23.602.727 ^a	112.38.739 ^a	112.19.388 ^a	117.07.562 ^a
DIR+CQ	14.341.364 ^{ab}	72.185.854 ^{ab}	74.456.219 ^b	80.775.563 ^{ab}

Note: ^a P<0.05, compared with group DS; ^b P<0.05, compared with group DIR.图 3 各组肾组织 TLR7、MyD88 及 NF- κ B 蛋白表达Fig. 3 The expression of TLR7, MyD88 and NF- κ B proteins in renal tissues of each group (n=6)内大量炎症因子侵袭^[17]。

根据国内外研究^[2], 1型糖尿病肾病是青少年终末期肾病的主要类型。在肾功能不全的发生率方面, 糖尿病患者发生肾功能不全的发生率是非糖尿病患者的 17 倍, 并且随着糖尿病病程的进展, 肾功能不全的发生率呈逐年上升的趋势, 发生肾脏不良事件的机率急剧升高。Fernandez JG 等人的研究显示^[3], 如果糖尿病患者病程小于 5 年者, 糖尿病肾病的发生率为 7% 至 10%; 如果糖尿病患者病程处于 10 年至 20 年之间, 糖尿病肾病的发生率上升为 20% 至 35%; 如果糖尿病患者病程超过 20 年, 糖尿病肾病的发生率几乎为 100%。1型糖尿病患者发病早、病程久, 40% 的 1型糖尿病患者最后会进展成 T1DN^[18]。T1DN 目前的治疗多样化, 包括保护肾功能, 调整血糖水平, 维持合适肾灌注压, 改善高脂血症等, 这些措施都能延缓 T1DN

的进展^[19], 即使如此, 仍会有一部分糖尿病患者随着病情的发展最终发生慢性肾衰竭、终末期肾脏病和尿毒症等恶性不良并发症^[18]。T1DN 是糖尿病高致残率、致死率最重要的影响因素之一, 严重影响 T1DM 患者的生存质量^[20]。1型糖尿病由于疾病病程长, 对全身多个脏器损伤持久, 尤其对肾脏的损伤严重, 疾病发展到晚期往往形成糖尿病肾病。因此, 糖尿病患者肾脏更为脆弱, 是最容易受到损伤波及的器官, 其临床表现往往早于其他组织器官, 常常导致急性肾损伤的发生。目前有研究认为, 糖尿病状态下机体处于高氧化应激和强炎症反应状态, 导致大量氧自由基和炎症因子的生成与释放, 从而诱发脏器产生更严重的缺血再灌注损伤。糖尿病肾病是糖尿病的主要并发症之一, 而高糖可诱发肾脏细胞的炎性反应。糖尿病患者发生肾脏不良事件几率较非糖尿病患者更高, 预后更差。因此糖尿病肾脏缺血再灌注损伤的机制及其防治是临床热点问题之一^[21]。

炎症反应是促进糖尿病病程进程的重要因素之一。当肾脏细胞受损后, 释放炎症介质, 并通过释放 TNF- α 、PDGF 等多种细胞因子及外基质进一步加剧局部组织的炎症反应, 从而参与糖尿病的发生发展^[22]。且糖尿病患者肾脏对缺血再灌注损伤的易损性增加, 引起肾血管和肾小管系统的复杂炎症反应过程, 其机制均涉及到: 炎性反应对 Toll 样受体的活化。TLR7 蛋白通过活化髓样分化因子 88 (MyD88) 依赖性途径从而激活核转录因子(NF- κ B), 触发促炎性细胞因子和趋化因子的产生, 导致机体损伤^[23,24]。

Toll 样受体家族是近年来发现的在识别病原微生物、启动免疫防御反应中起重要作用的受体蛋白。MyD88 是万能受体, 它可触发除 TLR3 以外所有 TLR 对 NF- κ B 的激活。TLR7 正是通过依赖 MyD88 的信号通路活化免疫细胞发挥作用, 产生联级炎性反应, 释放大量炎性因子, 包括 TNF- α 、IL-2、IL-4、IL-6、CCL2/MCP-1、CXCL1, 和 CXCL10/IP-10 等^[25,26]。大量炎性因子释放进一步加重肾脏损伤^[27,28]。本研究结果表明: 缺血再灌注期间, TLR7 表达增加, 进而激活 MyD88/NF- κ B 信号通路, 导致 IL-6、TNF- α 表达增多, 导致炎症反应的爆发, 肾脏细胞凋亡增加。肾脏病理学改变显示糖尿病缺血再灌注组肾脏近曲小管多

表 2 三组 TLR7, MyD88, NF- κ B 的比较 (n=6, $\bar{x} \pm s$)Table 2 The comparison of TLR7, MyD88, NF- κ B in three groups (n=6, $\bar{x} \pm s$)

	TLR7	MyD88	NF- κ B
DS	0.3938 \pm 0.023	0.3542 \pm 0.037	0.3338 \pm 0.027
DIR	0.6612 \pm 0.082 ^a	0.6372 \pm 0.069 ^a	0.7798 \pm 0.083 ^a
DIR+CQ	0.4456 \pm 0.037 ^b	0.4682 \pm 0.034 ^{ab}	0.5762 \pm 0.033 ^{ab}

Note: ^aP<0.05, compared with group DS; ^bP<0.05, compared with group DIR.

个上皮细胞肿胀伴坏死,管腔扩张,空泡形成,其中可见管型、充血,可见大量中性粒细胞、炎性细胞浸润,肾小球改变明显,肾脏损伤加重。从而证实 TLR7 通过活化 MyD88/NF- κ B 信号通路介导炎性级联反应的爆发导致机体失衡,引起肾脏功能严重受损。

氯喹作为一种常用的自噬抑制剂,近年发现其在治疗自身免疫性疾病,病毒感染性疾病,抗肿瘤方面具有重大的作用^[23]。近期研究发现,氯喹作为 TLR7 抑制剂,可通过调节 TLR7 信号通路调节免疫反应,减轻炎症反应^[24]。其机制可能为阻止细胞内由 TLR7 介导的 MyD88/NF- κ B 信号通路的转导,从而抑制炎性细胞因子的释放^[30],减轻炎症级联反应。本研究结果显示:氯喹预处理后,TLR7, MyD88 及 NF- κ B 蛋白表达均下降,同时炎性因子 IL-6, TNF- α 释放降低,肾脏细胞凋亡减少,肾脏病理损伤得到改善。这些结果表明,TLR7 加重糖尿病大鼠肾缺血再灌注损伤。本研究结果显示,1 型糖尿病大鼠肾急性缺血再灌注肾损伤中,TLR7 过度活化,通过 MyD88/NF- κ B 信号转导通路,诱发肾脏损伤,这也许是糖尿病加重肾缺血再灌注损伤机制之一。抑制 TLR7 信号转导通路,使 MyD88 和 NF- κ B 的蛋白表达下调,可减轻 1 型糖尿病大鼠肾急性缺血再灌注损伤。

综上所述,TLR7 介导的 MyD88/NF- κ B 信号通路参与了 1 型糖尿病大鼠肾缺血再灌注损伤中的作用。氯喹通过抑制 TLR7 蛋白表达,阻断 MyD88/NF- κ B 信号通路降低炎症反应,从而降低 1 型糖尿病大鼠肾缺血再灌注损伤。

参 考 文 献(References)

- [1] Ponce BA, Menendez ME, Oladeji LO, et al. Diabetes as a risk factor for poorer early postoperative outcomes after shoulder arthroplasty[J]. J Shoulder Elbow Surg, 2014, 23(5): 671-678
- [2] Yang M, Gan H, Shen Q. Effect of LPS on the level of TLR4 and on the expression of NF- κ B and Notch1 in monocytes from patients with type 2 diabetic nephropathy [J]. Zhong Nan Da Xue Xue Bao Y Xue Ban, 2012, 37(6): 578-585
- [3] Fernandez JG, Luno J, Barrio V, et al. Effect of dual blockade of the renin-angiotensin system on the progression of type 2 diabetic nephropathy: a randomized trial [J]. Am J Kidney Dis, 2013, 61(2): 211-218
- [4] Marshak-Rothstein A, Rifkin IR. Immunologically active autoantigens: the role of toll-like receptors in the development of chronic inflammatory disease[J]. Annu Rev Immunol, 2007, 25: 419-441
- [5] Mohamed FE, Al-Jehani RM, Minogue SS, et al. Effect of toll-like receptor 7 and 9 targeted therapy to prevent the development of hepatocellular carcinoma[J]. Liver Int, 2015, 35(3): 1063-1076
- [6] Chatterjee S, Crozet L, Damotte D, et al. TLR7 promotes tumor progression, chemotherapy resistance, and poor clinical outcomes in non-small cell lung cancer[J]. Cancer Res, 2014, 74(18): 5008-5018
- [7] Spirig R, Tsui J, Shaw S. The Emerging Role of TLR and Innate Immunity in Cardiovascular Disease [J]. Cardiol Res Pract, 2012, 2012: 181394
- [8] Paulus P, Rupprecht K, Baer P, et al. The early activation of toll-like receptor (TLR)-3 initiates kidney injury after ischemia and reperfusion[J]. PLoS One, 2014, 9(4): e94366
- [9] Lin M, Tang SC. Toll-like receptors: sensing and reacting to diabetic injury in the kidney[J]. Nephrol Dial Transplant, 2014, 29(4): 746-754
- [10] Chen JQ, Szodoray P, Zeher M. Toll-Like Receptor Pathways in Autoimmune Diseases[J]. Clin Rev Allergy Immunol, 2016, 50(1): 1-17
- [11] Needell JC, Zipris D. Targeting Innate Immunity for Type 1 Diabetes Prevention[J]. Curr Diab Rep, 2017, 17(11): 113
- [12] Franzén S, Palm F. Endothelin type A receptor inhibition normalises intrarenal hypoxia in rats used as a model of type 1 diabetes by improving oxygen delivery[J]. Diabetologia, 2015, 58(10): 2435-2442
- [13] Brito MV, Yasojima EY, Percario S, et al. Effects of hypertonic saline solution associated to remote ischemic preconditioning in kidney ischemia/reperfusion injury in rats[J]. Acta Cir Bras, 2017, 32(3): 211-218
- [14] Freitas FP, Porto ML, Tranhago CP, et al. Dioclea violacea lectin ameliorates oxidative stress and renal dysfunction in an experimental model of acute kidney injury[J]. Am J Transl Res, 2015, 7(12): 2573-2588
- [15] Borthwick E, Ferguson A. Perioperative acute kidney injury: risk factors, recognition, management, and outcomes[J]. BMJ, 2010, 341: c3365
- [16] Schrier R W, Wang W, Poole B, et al. Acute renal failure: definitions, diagnosis, pathogenesis, and therapy[J]. J Clin Invest, 2004, 114(1): 5-14
- [17] Chung CH, Fan J, Lee EY, et al. Effects of Tumor Necrosis Factor- α on Podocyte Expression of Monocyte Chemoattractant Protein-1 and in Diabetic Nephropathy[J]. Nephron Extra, 2015, 5(1): 1-18
- [18] Rheinberger M, Böger CA. Diabetic nephropathy: new insights into diagnosis, prevention and treatment [J]. Dtsch Med Wochenschr, 2014, 139(14): 704-706
- [19] Idowu AA, Ajose AO, Adedeji AT, et al. Microalbuminuria, Other Markers of Nephropathy and Biochemical Derangements in Type 2 Diabetes Mellitus: Relationships and Determinants [J]. Ghana Med J, 2017, 51(2): 56-63
- [20] David R W, Leonor G, Clara W, et al. IDF diabetes atlas: global estimates of the prevalence of diabetes for 2011 and 2030 [J]. Diabetes Res Clin Pract, 2011(94): 311-321
- [21] Xiao YD, Huang YY, Wang HX, et al. Thioredoxin-Interacting Protein Mediates NLRP3 Inflammasome Activation Involved in the Susceptibility to Ischemic Acute Kidney Injury in Diabetes [J]. Oxid Med Cell Longev, 2016, 2016: 2386068
- [22] Fontana J, Vogt A, Hohenstein A, et al. Impact of Steroids on the Inflammatory Response after Ischemic Acute Kidney Injury in Rats [J]. Indian J Nephrol, 2017, 27(5): 365-371
- [23] Dominguez-Villar M, Gautron AS, de Marcken M. TLR7 induces anergy in human CD4 $^{+}$ T cells[J]. Nat Immunol, 2015, 16(1): 118-128
- [24] Feng Y, Zou L, Yan D, et al. Extracellular MicroRNAs Induce Potent Innate Immune Responses via TLR7/MyD88-Dependent Mechanisms [J]. J Immunol, 2017, 199(6): 2106-2117
- [25] Kumar H, Kawai T, Akira S. Pathogen recognition by the innate immune system[J]. Int Rev Immunol, 2011, 30(1): 16-34
- [26] Cherney D, Lund SS, Perkins BA, et al. The effect of sodium glucose cotransporter 2 inhibition with empagliflozin on microalbuminuria and macroalbuminuria in patients with type 2 diabetes [J]. Diabetologia, 2016, 59(9): 1860-1870

(下转第 405 页)

- viral diseases [J]. *Nature Reviews Drug Discovery*, 2013, 12 (6): 447-464
- [2] Jacobs B M, Ammosato F, Giovannoni G, et al. Cladribine: mechanisms and mysteries in multiple sclerosis [J]. *Journal of Neurology, Neurosurgery & Psychiatry*, 2018, 0: 1-6
- [3] 李立威, 古冬云, 程志刚, 等. 克拉屈滨的合成工艺改进及其主要杂质研究[J]. 中国新药杂志, 2015, 24(05): 565-569
- [4] 夏然, 孙莉萍, 渠桂荣, 等. 抗白血病药物克拉屈滨的合成 [J]. 应用化学, 2016, 33(11): 1274-1278
- [5] Taran S A, Verevkina K N, Feofanov S A, et al. Enzymatic transglycosylation of natural and modified nucleosides by immobilized thermostable nucleoside phosphorylases from *Geobacillus stearothermophilus* [J]. *Bioorg Khim*, 2009, 35 (6): 822-829
- [6] Fernandez-Lucas J, Acebal C, Sinisterra J V, et al. *Lactobacillus reuteri* 2'-deoxyribosyltransferase, a novel biocatalyst for tailoring of nucleosides [J]. *Applied and Environmental Microbiology*, 2010, 76 (5): 1462-1470
- [7] Kaminski P A, Labesse G. Phosphodeoxyribosyltransferases, designed enzymes for deoxyribonucleotides synthesis [J]. *Journal of Biological Chemistry*, 2013, 288(9): 6534-6541
- [8] Kaminski P A, Dacher P, DuguéL, et al. In vivo reshaping the catalytic site of nucleoside 2'-deoxyribosyltransferase for dideoxy and didehydroribonucleosides via a single amino acid substitution [J]. *Journal of Biological Chemistry*, 2008, 283(29): 20053-20059
- [9] 王玺, 段胜林, 熊舒莉, 等. 自诱导系统在酶促合成 2'-脱氧胞苷中的应用[J]. 生物技术通报, 2014, (11): 225-232
- [10] 李忠琴, 许小平, 杨海麟, 等. 辣根过氧化物酶分光光度法测定黄嘌呤氧化酶的活性[J]. 分析化学, 2006, 34(06): 821-824
- [11] Fresco-Taboada A, de la Mata I, Arroyo M, et al. New insights on nucleoside 2'-deoxyribosyltransferases: a versatile Biocatalyst for one-pot one-step synthesis of nucleoside analogs [J]. *Applied Microbiology and Biotechnology*, 2017, 101(19): 7187-7200
- [12] Sarkisjan D, Julsing J R, Smid K, et al. The cytidine analog fluorocyclopentenylcytosine (RX-3117) is activated by uridine-cytidine kinase 2[J]. *PLOS ONE*, 2016, 11(9): e162901
- [13] Muthu P, Chen H X, Lutz S. Redesigning human 2'-deoxycytidine kinase enantioselectivity for L?nucleoside analogues as reporters in positron emission tomography [J]. *ACS Chemical Biology*, 2014, 9 (10): 2326-2333
- [14] Muthu P, Lutz S. Quantitative detection of nucleoside analogues by multi-enzyme biosensors using time-resolved kinetic measurements [J]. *ChemMedChem*, 2016, 11(7): 660-666
- [15] Li Y, Ding Q, Ou L, et al. One-pot process of 2'-deoxyguanylic acid catalyzed by a multi-enzyme system [J]. *Biotechnology and Bioprocess Engineering*, 2015, 20(1): 37-43
- [16] Liang C, Zhang Y, Jia Y, et al. Engineering a carbohydrate-processing transglycosidase into glycosyltransferase for natural product glycodiversification [J]. *Scientific Reports*, 2016, 6(21051)
- [17] Crespo N, Sánchez-Murcia P A, Gago F, et al. 2'-Deoxyribosyltransferase from *Leishmania mexicana*, an efficient biocatalyst for one-pot, one-step synthesis of nucleosides from poorly soluble purine bases [J]. *Applied Microbiology and Biotechnology*, 2017, 101(19): 7187-7200
- [18] Arco J D, Fernandez-Lucas J. Purine and pyrimidine phosphoribosyltransferases: A versatile tool for enzymatic synthesis of nucleoside-5'-monophosphates[J]. *Current Pharmaceutical Design*, 2018, 23(45): 6898-6912
- [19] 王洁, 余磊, 杨东, 等. 基于酵母表面展示技术的胸苷磷酸化酶全细胞催化剂的构建[J]. 生物技术通报, 2016, 32(1): 201-206
- [20] 余磊, 李骥璇, 王忆茗, 等. 蔗糖磷酸化酶全细胞催化 AA-2G 的条件优化[J]. 现代生物医学进展, 2017, 17(14): 2601-2605

(上接第 415 页)

- [27] Sun L, Kanwar YS. Relevance of TNF- α in the context of other inflammatory cytokines in the progression of diabetic nephropathy[J]. *Kidney Int*, 2015, 88(4): 662-665
- [28] Hong YA, Yang KJ, Jung SY, et al. Paricalcitol attenuates lipopolysaccharide-induced inflammation and apoptosis in proximal tubular cells through the prostaglandin E2 receptor EP4 [J]. *Kidney Res Clin Pract*, 2017, 36(2): 145-158
- [29] Mohamed FE, Al-Jehani RM, Minogue SS, et al. Effect of toll-like receptor 7 and 9 targeted therapy to prevent the development of hepatocellular carcinoma[J]. *Liver Int*, 2015, 35(3): 1063-1076
- [30] Zhou ZX, Sun L. Immune effects of R848: evidences that suggest an essential role of TLR7/8-induced, Myd88- and NF- κ B-dependent signaling in the antiviral immunity of Japanese flounder (*Paralichthys olivaceus*)[J]. *Dev Comp Immunol*, 2015, 49(1): 113-120